

ICS 71.040.99  
N 33

0700825



# 中华人民共和国国家标准

GB/T 20726—2006/ISO 15632:2002

## 半导体探测器 X 射线能谱仪通则

Instrumental specification for energy dispersive X-ray spectrometers with semiconductor detectors

(ISO 15632:2002, Microbeam analysis—Instrumental specification for energy dispersive X-ray spectrometers with semiconductor detectors, IDT)



2006-12-25 发布

2007-08-01 实施



中华人民共和国国家质量监督检验检疫总局  
中国国家标准化管理委员会 发布

中华人民共和国  
国家标准  
**半导体探测器 X 射线能谱仪通则**  
GB/T 20726—2006/ISO 15632:2002

\*  
中国标准出版社出版发行  
北京复兴门外三里河北街 16 号

邮政编码：100045

网址 [www.spc.net.cn](http://www.spc.net.cn)

电话：68523946 68517548

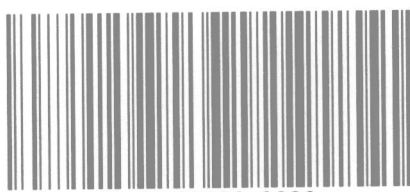
中国标准出版社秦皇岛印刷厂印刷

各地新华书店经销

\*  
开本 880×1230 1/16 印张 0.75 字数 14 千字  
2007 年 6 月第一版 2007 年 6 月第一次印刷

\*  
书号：155066·1-29498 定价 14.00 元

如有印装差错 由本社发行中心调换  
版权专有 侵权必究  
举报电话：(010)68533533



GB/T 20726-2006

## 前　　言

本标准等同采用 ISO 15632:2002《半导体探测器 X 射线能谱仪通则》。

本标准的附录 A、附录 B 为规范性附录。

本标准由全国微束分析标准化技术委员会提出。

本标准由全国微束分析标准化技术委员会归口。

本标准起草单位：中国科学院地质与地球物理研究所。

本标准主要起草人：曾荣树、徐文东、毛骞、马玉光、范光。

## 引　　言

近年来,通过改进探测器的探头晶体和X射线入射窗口新材料的制备工艺以及应用先进的脉冲处理技术,在X射线能谱仪(EDS)技术上取得的进展增强了能谱仪的总体性能,并且将其应用范围扩展到低能量(低于1keV)区域。

过去,能谱仪的特性通常用高能状态下能量的分辨力来表示,定义为Mn-K $\alpha$ 峰半高宽(FWHM)。为了表示在低能量范围的特性,生产厂家给出了C-K,F-K的峰半高宽值或者零峰。一些生产商还规定了峰背比(峰高与本底的比值),即 $^{55}\text{Fe}$ 谱线中的峰与基线的比值或硼(B)的谱线中的峰谷比值。这些量即使相同,它们的定义也可能不同。能谱仪在低能端的灵敏度相对于高能量区而言,明显的依赖于探测晶体和X射线入射窗口的设计。尽管低能端的高灵敏度对于分析轻元素化合物非常重要,但是生产商通常不给出能量与谱仪效率的依赖关系。

在全球范围内要求制定X射线能谱仪(EDS)基本规范的呼声中,本标准应运而生。EDS是分析固体和薄膜化学成分最常用的方法之一。本标准容许在相同规范的基础上,对不同设计的能谱仪性能进行比较,同时根据特殊的要求,帮助找到最合适的能谱仪。另外,本标准也便于对不同实验室的仪器标准与分析结果进行比对。依照ISO/IEC 17025规定,这些实验室应按规定的程序定期检查、校准仪器。本标准可作为所有相关测试实验室制定相似操作程序的指南。

# 半导体探测器 X 射线能谱仪通则

## 1 范围

本标准规定了表征以半导体探测器、前置放大器和信号处理系统为基本构成的 X 射线能谱仪(EDS)特性最重要的量值。本标准仅适用于固态电离作用原理的半导体探测器 EDS。本标准只规定了与电子探针(EPMA)或扫描电镜(SEM)联用的此类 EDS 的最低要求,至于如何实现分析则不在本标准的规定范围之内。

## 2 术语和定义

下列术语和定义适用于本标准。

注:除 2.1 外,这些定义都按 ISO 18115 中相同或相似的形式规定。

### 2.1

**能谱仪 energy dispersive spectrometer**

同时记录整个 X 射线谱的谱仪。

注:谱仪包括固态探测器、前置放大器和将 X 射线光子转换为电脉冲的脉冲处理器,其中波高分析被用于给不同能量的 X 射线在脉冲处理器中所形成的脉冲信号分配能量通道。

### 2.2

**谱通道 spectral channel**

所测谱中测量能量的间隔,其宽度由一定的能量增量表示。

### 2.3

**仪器检测效率 instrumental detection efficiency**

检测到的光子量与可用于测量的光子量的比值。

### 2.4

**信号强度 signal intensity**

经脉冲处理后,能谱仪输出的以每通道计数或每通道每秒的计数所表示的量。

### 2.5

**峰强度 peak intensity**

在特定本底上以峰高测量的谱峰信号强度。

### 2.6

**峰面积 peak area**

净峰面积 net peak area

在去除本底后,一个谱峰的面积。

### 2.7

**背景信号 background signal**

由于轫致辐射或仪器本底在谱通道中形成的信号。

### 2.8

**仪器本底 instrumental background**

能谱仪的某一部件或多个部件产生的信号,这些信号通常是不希望得到的,它们与样品释放出的信号混合在一起,使测定的谱图产生偏差。

### 3 要求

#### 3.1 概述

生产商应用适当的标准文本描述能谱仪最主要的构成要素,以便能让用户评估仪器的性能。对评估能谱仪是否适合在相关领域应用所必需的部件应予详细说明,这些部件包括晶体材料类型(硅或锗)、晶体厚度、有效晶体面积和窗口类型[铍窗、薄(膜)窗或无窗]。有些参数不包含在本标准内,但可能影响探测器的性能,如最大计数比率、冷却系统的构造原理等,应在相关资料中加以说明。

#### 3.2 能量分辨力

能量分辨力应用 Mn-K $\alpha$  峰的半高宽来表示,并按照附录 A 进行确定。对于可以检测低于 1 keV 能量 X 射线的能谱仪,也应该给出 C-K 和 F-K 线的峰半高宽。标明的半高宽应是上限值。根据附录 A 测定的分辨力必须保证优于标称值。随分辨力值应同时附上规定的计数率说明(如<1 000 计数/秒)。

#### 3.3 峰背比

作为一个能谱仪的特征参数,峰背比应由采集到的 $^{55}\text{Fe}$  谱线中得出。此比值应由从仪器本底值分离出的 Mn-K $\alpha$  线的峰强度给出。仪器本底值应是能量范围从 0.9 keV~1.1 keV 时每通道计数的平均值。谱计数应足够多以便使测量有统计学意义,电子学设置应对在 0.9 keV~1.1 keV 能量范围信号产生的脉冲 100% 有效。

注 1: 峰背比依赖于谱仪分辨力。因此峰背比只适用于比较分辨力相似的能谱仪。

注 2: 电子显微镜中,由于能量损失,锰样品产生的轫致辐射本底可能显著大于仪器本底。因此锰样品不能用于测量峰背比。

#### 3.4 能量与仪器检测效率相关性

对能量与仪器检测效率的关系,最少应标出特定物质的特征 X 谱线的低能线与高能线的强度比。此比值应是用垂直于样品表面的 20 keV 电子束激发并在检出角 35° 检测到的纯镍或纯铜样品谱线中 L 线系和 K $\alpha$  线净峰面积比。

注 1: 这些测量只适合其厚度足以吸收至少 95% 的 8 keV(能量)入射 X 射线的探测器。

注 2: 如果样品室的探测器接口不适于 35° 检出角,在其他任何检出角获得的 L/K 比值可以用电子探针定量分析中的吸收修正公式转换为 35° 检出角的比值(见附录 B)。

**附录 A**  
**(规范性附录)**  
**测定能谱仪能量分辨力的峰半高宽(*FWHM*)值**

#### A.1 样品

样品应采用密封的<sup>55</sup>Fe 源来测量锰的K $\alpha$ 线,采用聚四氟乙烯(PTFE, Teflon®)片或箔片测量碳和氟的K线。为了在用户实验室检查峰半高宽(*FWHM*),如果没有<sup>55</sup>Fe 或出于安全考虑不能使用<sup>55</sup>Fe,可以用抛光的锰样品来替代。用来测定碳和氟K线的聚四氟乙烯片替代品可以分别使用玻璃碳和含氟矿物,如CaF<sub>2</sub>。

#### A.2 样品制备

聚四氟乙烯样品应蒸镀或溅射一层约20 nm厚的碳膜,以使其表面导电。如果在已装配于扫描电子显微镜的能谱仪上使用<sup>55</sup>Fe,类似于Amersham Buchler<sup>55</sup>Fe伽玛参考源VZ-1977也应单面镀碳。这样就很容易找到密封的放射性片的位置,并将其定位在X射线能谱仪的正确工作距离。

#### A.3 准备工作

用生产商建议的步骤校准能谱仪的能量范围,并对用于校准的X线和能量进行记录。

#### A.4 测量条件

- 选择通道宽度≤10 eV。
  - 为了记录C-K线和F-K线,入射电子能量用10 keV。
- 注:此条件下由于在聚四氟乙烯谱中碳和氟的峰强度相似,使得可以从一个谱确定碳和氟两个峰的半高宽。
- 用锰样品测量Mn-K谱图时,用15 keV。
  - 调整束流以使测量中计数率不超过规定的计数率极限(如1 000计数/秒)。
  - 峰计数应高于10 000计数。

#### A.5 本底扣除

在<sup>55</sup>Fe源、聚四氟乙烯或玻璃碳样品的谱中,本底可以忽略。

注:聚四氟乙烯或玻璃碳样品测得的K线峰背比大于100。忽略本底使峰半高宽值稍微增加约1 eV或更小,但避免了与本底的拟合和扣除相关的所有问题,这是一种在系统与系统比较中可靠而且可重复的测量方法。

用锰样品和含氟矿物标样的情况下,在计算峰半高宽前,应将线性本底扣除。线性本底应分别固定在峰的低能一侧和高能一侧,距离至少为两倍的半高宽值,本底计数值取5个相邻通道的平均值。

#### A.6 峰半高宽(*FWHM*)的计算

计算峰半高宽应采用以下步骤(与IEC 60759或ANSI/IEEE 759一致):在高能量端和低能量端各自得到两个通道值,它们的计数值一个刚好高于最高峰一半,另一个刚好低于最高峰一半,利用插值法,求出计数正好为最高值一半时高能量端和低能量端的通道数值,计算得到两个通道值的差值,将此差值乘以校准后能谱每个通道的eV值。

最后结果应取至少5次测试的平均值。

注:对一些特殊设计的脉冲处理器,分辨力轻微依赖于信号强度和谱线构成。这种情况下半高宽的测量可能略受所用样品的影响。

### A.7 例子

图 A.1 和图 A.2 分别是在 10 eV 通道宽度下, 测定的<sup>55</sup>Fe 源 Mn-K $\alpha$  谱线和 10 kV 加速电压 5 eV 通道宽度, TOA(检出角)=30°时, 所测到的聚四氟乙烯(PTFE)谱线及计算的峰半高宽值。

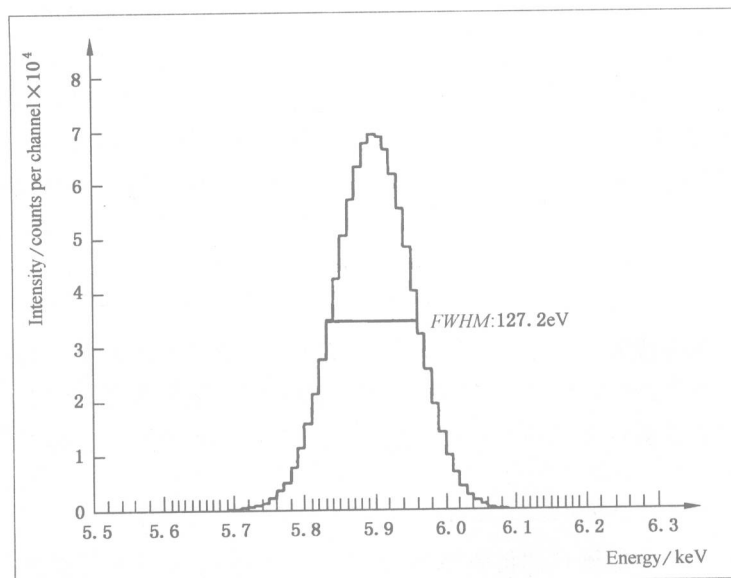


图 A.1 <sup>55</sup>Fe 源发射的 Mn-K $\alpha$  谱线及计算峰半高宽

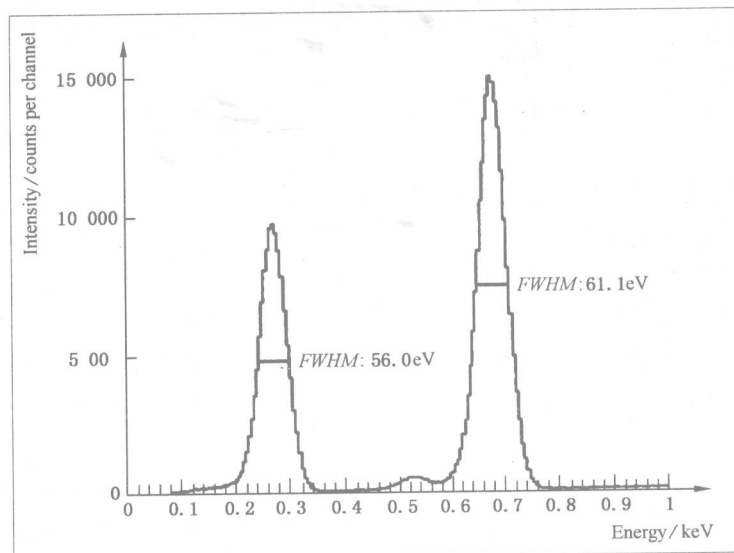


图 A.2 聚四氟乙烯样品的 10 keV 谱线及 C 和 F 的 K 线计算峰半高宽

**附录 B**  
**(规范性附录)**  
**能量与仪器检测效率相关性指标  $L/K$  比值的确定**

#### B. 1 样品

使用抛光、平整、洁净的镍或铜样品。

#### B. 2 测量条件

- 加速电压为 20 kV。
- 将样品安装在与入射电子束垂直的位置。
- 峰计数强度应超过 10 000。

#### B. 3 $L/K$ 比的计算

计算  $L/K$  比应采用如下方法：按附录 A 描述的线性本底扣除方法，确定  $K\alpha$  峰和  $L$  线系的净峰面积，面积比即为  $L/K$  比。最后结果应采用至少 5 次测量结果的平均值。

#### B. 4 TOA(检出角)≠35°时 $L/K$ 比的转换

许多扫描电镜的 X 射线检出角不等于 35°，这时  $L/K$  比应采用电子探针定量分析的吸收修正方法转换为 35°时的值。图 B. 1 和图 B. 2 是这种转化的诺模图(Nomogram)。诺模图来源于 Pouchou 和 Pichoir 的 XPP 吸收校正模型及其质量吸收系数(MACs)<sup>[6]</sup>。

如果差别在误差范围内，其他吸收校正方法也可以采用。

注：在操作过程中，重要的是要保持样品表面平和检出角角度正确。如果样品表面倾斜几度，就会等量改变检出角值。此外，镍和铜  $L$  线的吸收系数有些不确定，当检出角与 35°相差较大时就会使诺模图可靠性降低。

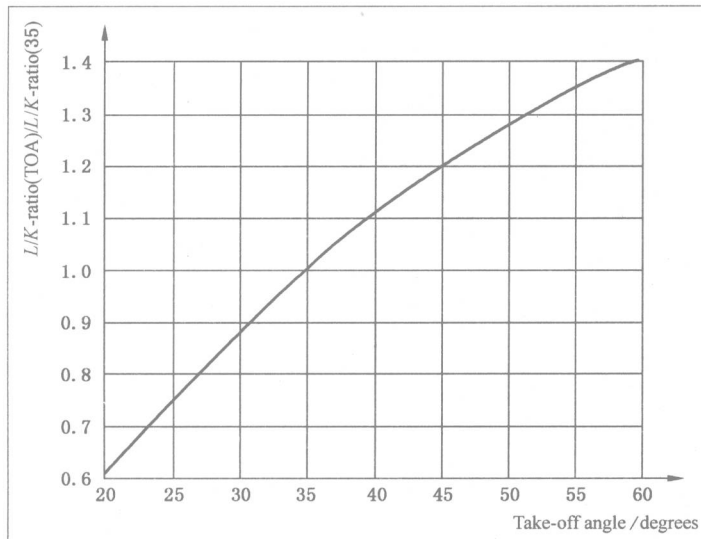


图 B. 1 Ni 转换为检出角 = 35° 的诺模图

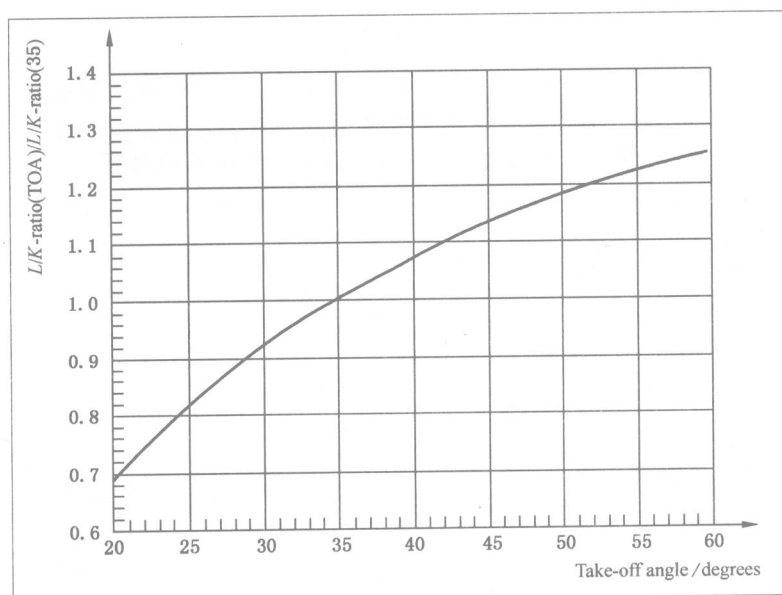


图 B. 2 Cu 转换为检出角 = 35° 的诺模图

### 参 考 文 献

- [1] ISO/IEC 17025 General requirements for the competence of testing and calibration laboratories.
- [2] ISO 18115 Surface chemical analysis — Vocabulary.
- [3] IEC 60759 Standard test procedures for semiconductor X-ray energy spectrometers.
- [4] ANSI/IEEE 759 Test Procedures for Semiconductor X-Ray Energy Spectrometers.
- [5] ASTM E1508 Standard Guide for Quantitative Analysis by Energy—Dispersive Spectroscopy.
- [6] Pouchou, J. L. and Pichoir, F, in K. F. J. Heinrich and D. E. Newbury (eds.) Electron Probe Quantitation, New York 1991, pp. 31-75.